



دانشگاه شهید بهشتی

دانشکده علوم - بخش فیزیک

پایاننامه‌ی تحصیلی برای دریافت درجه‌ی کارشناسی ارشد
فوتونیک

تحت عنوان

**بررسی ریزکاواک‌های اپتیکی پدید آمده
در سیستم‌های MF-S و PF-S**

استاد راهنما:

دکتر حسن فاطمی

مؤلف :

امیر قطمیری

(ب)

(ج)

روح پدر عزیزم

که چه زود وجود پر مهر و محبتش را از دست دادم

و

مادر مهرجانم

که بدلیل بودنش در کنارم همواره خداوند بزرگ را
سپاسگزارم

سپاسگزاری

خداوند بزرگ را سپاسگزارم که نعمت داشتن مادری سرشار از صمیمیت و مهربانی و برادر و خواهری که همواره به آنها افتخار خواهم کرد را نصیب من کرده است. با آنکه در انتهای این دوره از تحصیلاتم وجود مهربان و دلگرم کننده پدرم را از دست دادم ولی یاد و خاطره و اندرزهایش همچون چراغی روشن، راهنمای مسیر زندگیم خواهد بود.

از خانواده ام که بی هیچ چشمداشتی مرا پشتیبانی کردند سپاسگزاری می نمایم. از استاد گرانقدر خویش، جناب آقای دکتر حسن فاطمی، که در طول دوره کارشناسی ارشد، مطالب و موضوعات مهم علمی را به بنده آموختند و نظارت مستمری بر فعالت های اینجانب داشتند، کمال تشکر و سپاسگزاری را دارم و از خداوند متعال برای ایشان سلامتی و شادکامی آرزومندم.

در پایان از جناب آقای نجیب زاده مسئول کارگاه فیزیک، آقای عباس خاکسار، دوست و همکارم در آزمایشگاه میکروپتیک و تمامی دوستان و اطرافیانم که در این مدت به بنده کمک نمودند، تشکر و قدردانی می نمایم و برایشان آرزوی بهترینها را دارم.

چکیده

اصول کار کرد میکروسکوپهای تداخل سنجی فیبرنوری، بر اساس پدیده درهمروی در ریز کاواک های اپتیکی پدید آمده بین نوک کاوشگر فیبرنوری تک حالت و سطح نمونه مورد بررسی، می باشد. این ریز کاواک های اپتیکی در فضای بین نوک تخت کاوشگر فیبرنوری و سطح نمونه (ریز کاواک اپتیکی و یا سیستم ریز درهمروی سنج MF-S) و یا بین کاوشگر فیبرنوری نوک ریز عدسی دار و سطح نمونه (ریز کاواک اپتیکی و یا سیستم ریز درهمروی سنج MF-S) تشکیل می شوند. در این پایان نامه، عملکرد ریز کاواک های اپتیکی پدید آمده در سیستم های MF-S و PF-S، از لحاظ نظری و همچنین عملی، مورد بررسی قرار گرفته اند. در موارد نظری، نخست، با استفاده از دو مدل پیرامحوری و مدل جامع (و یا غیر پیرامحوری)، ویژگیهای اپتیکی کاوشگرهای فیبرنوری نوک ریز عدسی دار مورد استفاده در این سیستم ها مورد مطالعه قرار گرفته اند. نتایج بدست آمده از به کار گیری این دو مدل، بیانگر نکات قابل توجهی می باشد که به آنها پرداخته شده است. سپس، الگوی در همروی در ریز کاواک های اپتیکی MF-S و PF-S بدست آورده شده اند. در بررسی عملی، نخست، به بیان روش های ساخت کاوشگرهای فیبرنوری نوک ریز عدسی دار پرداخته شده است. سپس، یک سیستم ریز درهمروی سنجی فیبرنوری، طراحی و به کار گرفته شده است. نتایج عملی بدست آمده از این سیستم، تأیید کننده نتایج بدست آمده از بررسی های نظری است. در این رابطه، برای برطرف نمودن برخی عیوب ذاتی دستگاه پیمایشگر مورد استفاده در این آزمایشها، یک برنامه کامپیوتری نوشته شد.

فهرست

۱	۱ - مقدمه
۶	۲ - بررسی نظری ریزکاواک های اپتیکی MF-S و PF-S
۷	۲-۱ - معادله موج در یک فیبر نوری تک حالته با نمار شکست پله ای
۱۴	۲-۲ - ریزکاواک های اپتیکی MF-S و PF-S
۱۴	۱-۲-۲ - تشکیل فریزهای درهمروی در ریزکاواک اپتیکی PF-S
۱۹	۲-۲-۲ - تشکیل فریزهای درهمروی در ریزکاواک اپتیکی MF-S
۲۲	۳-۲ - بررسی نظری ریز عدسی نوک کاوشگر فیبرنوری
۳۱	۱-۳-۲ - مدل پیرامحوری برای بررسی ریز عدسی نوک کاوشگر
۳۳	۲-۳-۲ - مدل جامع برای بررسی ریز عدسی نوک کاوشگر
۴۲	۳ - بررسی عملی سیستم های درهمروی سنجی در ریزکاواک های اپتیکی PF-S و MF-S
۴۴	۱-۳ - اجزای سیستم ریز درهمروی سنجی فیبرنوری
۴۵	۱-۱-۳ - لیزر و جفت کننده نور آن به درون فیبر نوری
۴۸	۲-۱-۳ - ریز پیمایشگر پیزو الکتریکی با کنترل کامپیوتری
۵۰	۳-۱-۳ - نمونه بازتابشگر

۵۱	۴-۱-۳- سیستم آشکارساز نوری
۵۳	۴-۱-۳- پیگیری میکروسکوپی همزمان فرایند پیمايش
۵۳	۲-۲-۳- چگونگی انجام فرایند پیمايش و تشکیل فریزهای درهمروی در ریز کاواک
۵۴	۱-۲-۳- تشکیل فریزهای درهمروی در ریز کاواک اپتیکی PF-S
۵۶	۲-۲-۳- خطی نمودن پیمايش در پیمايشگر پیزو الکتریکی
۶۳	۳-۲-۳- تشکیل فریزهای درهمروی در ریز کاواک اپتیکی MF-S
۶۵	۳-۳- ساخت کاوشگر فیبرنوری نوک ریز عدسی دار
۶۶	۱-۳-۳- روش استفاده از سیستم گرما-کششی جرقه ای با کنترل کامپیوتری
۶۷	۲-۳-۳- روش استفاده از اپوکسی
۷۱	۴- نتیجه گیری
۷۲	۴-۱-۴- مقایسه نتایج نظری و عملی فریزهای درهمروی در ریز کاواک های اپتیکی PF-S و MF-S
۷۳	۴-۲-۴- نتایج حاصل از مدل پیرامحوری
۷۶	۴-۳-۴- نتایج حاصل از مدل جامع
۸۴	۵- برداشت کلی
۸۷	پیوست

مراجع

Abstract

٩٠

٩٥

(ط)

فصل ۱

مقدمه

میکروسکوپهای درهمروی سنجی فیبر نوری^۱ (OFIM) [۳ و ۲]، که زیر مجموعه‌ای از میکروسکوپهای کاوشگر روبشی (SPMs)^۲ هستند، داده‌های با ارزشی از توبوگرافی و ویژگیهای اسپکتروسکوپی سطح نمونه مورد بررسی در اختیار ما قرار می‌دهند. این میکروسکوپها، به یک کاوشگر فیبرنوری^۳ مناسب، برای بالابردن کیفیت اندازه گیری، مجهز می‌باشند [۶ و ۵]. کاوشگرهای فوق، به عنوان چشممه و/یا کاوشگری که داده‌ها را از سطح نمونه جمع آوری می‌کند، نقش مهمی ایفا می‌نمایند [۷]. همچنین بدلیل سبک و کوچک بودنشان، می‌توانند بدون تغییر بر ویژگیهای سطح نمونه مورد بررسی، داده‌های مورد نیاز را جمع آوری کنند. این عدم ایجاد تغییر بر روی سطح نمونه، دلیل برتری میکروسکوپهای فوق بر میکروسکوپهای الکترونی می‌باشد.

نوک فیبرنوری در فاصله‌ای حدود چند میکرومتر از سطح نمونه به جاروب (و یا روبش) درآورده می‌شود. فضای ایجاد شده بین نوک کاوشگر فیبرنوری و سطح نمونه مورد بررسی، یک ریزکاواک اپتیکی^۴ [۸] را پدید می‌آورد. علاوه‌بر نوک کاوشگر فیبرنوری و سطح نمونه تحت بررسی، به عنوان دو صفحه ریزکاواک خارجی [۹ و ۱۰]^۵ فابری - پرو رفتار می‌کنند. بخشی از نور منتشرشده درون فیبر، با برخورد به سطح نوک فیبر، به درون آن بازگشته و بخشی دیگر از نوک فیبر گذر کرده و بازتاب های پی در پی

¹ Optical Fiber Interferometry Microscopy

² Scanning Probe Microscopes

³ Optical Fiber Probe

⁴ Optical Microcavity

در محیط بین نوک فیبر و سطح نمونه انجام می دهد. بخش هایی از این بازتابش‌های پی در پی به فیبر کاوشگر جفت می شوند. پرتوهای جفت شده به فیبر کاوشگر و پرتوی بازتابشی از نوک آن، با یکدیگر تداخل کرده و با تغییر فاصله بین نوک فیبر و سطح نمونه، ایجاد فریزهای درهمروی در سر دیگر فیبر کاوشگر می کنند. بدین ترتیب یک سیستم ریزدرهمروی سنجی پدید می آید. در این پایان نامه، این سیستم های ریزدرهمروی سنجی، در دو گونه متفاوت ریزکاواک اپتیکی (ویا سیستم ریزدرهمروی سنجی) ^۱ MF-S^۲ و PF-S^۳ معرفی و ویژگیهای آنها بررسی می شوند. در سیستم ریزدرهمروی سنج PF-S، یک ریزکاواک اپتیکی بین نوک تخت کاوشگر فیبرنوری و سطح نمونه ایجاد می شود[۱۱]. در حالی که در سیستم ریزدرهمروی سنج MF-S، فضای بین ریزعدسی نوک کاوشگر فیبرنوری و سطح نمونه، این ریزکاواک اپتیکی را پدید می آورد[۱۲]. هر یک از این سیستم ها کاربرد ویژه ای دارند. مثلاً در سیستم ریزدرهمروی سنج PF-S، می توان با ساخت کاوشگر فیبرنوری نوک تخت که ابعاد نوک آن در حد میکرو و/یا نانومتر باشد، توان جداسازی سیستم را با دقت بالایی افزایش داد[۱۳]. همچنین در سیستم های ریزدرهمروی سنج MF-S، با انتخاب کاوشگر فیبرنوری نوک ریزعدسی دار^۳ مناسب و افزایش قدرت کانونی کردن پرتو روی سطح نمونه، داده های اضافی در حین عمل رویش را به طور محسوسی کاهش داد[۱۴].

^۱ Plane Fiber-Sample optical microcavity

^۲ Microlensed Fiber-Sample optical microcavity

^۳ Microlensed Tip Optical Fiber Probe

ریز عدسی های ساخته شده در نوک فیبرنوری، مشابه کاوشگرهای فیبرنوری نوک ریز عدسی دار، در مخابرات نوری از اهمیت ویژه ای برخوردارند. بطوریکه برای جفت نمودن و انتقال بهینه نور، از این سیستم ها استفاده می شود[۱۵ و ۱۶]. در واقع، ریز عدسی نوک کاوشگر فیبرنوری، می تواند با افزایش زاویه پذیرش آن، بازده انتقال نور را از منبع به فیبرنوری افزایش دهد[۱۷ و ۱۸]. چگونگی ساخت ریز عدسی بر روی نوک کاوشگر فیبرنوری، می تواند بر کارکرد این ریز عدسی ها تأثیر بسزایی داشته باشد[۱۹ و ۲۰]. به کمک روشاهای گوناگون ساخت این ریز عدسی ها، سطح مقطع خمس آنها می تواند به صورت شکلهای هندسی متفاوتی (از جمله کروی، سهموی و...) شکل داده شود. این در حالی است که برای بیان عملکرد آنها، از مدل ساده پیرامحوری^۱ استفاده می شود[۲۱-۲۶]. در این حالت عملکرد این ریز عدسی ها، تقریباً غیر وابسته به شکل سطح مقطع آنها، یکسان بیان می شود، که با دقت نظر بیشتر نمی بایستی چنین باشد. در واقع می بایست مدل جامعی^۲، بدون تقریب پیرامحوری ارایه شود تا تفاوت ویژگی ریز عدسی ها با سطح مقطع های گوناگون آشکار گردد.

در این پایان نامه، بررسی سیستم های MF-S و PF-S، به دو صورت نظری و عملی ارایه شده است. در فصل دوم، که به بررسی نظری پرداخته شده، نخست، تابع موج مربوط به چشم نور مورد استفاده در سیستم های MF-S و PF-S، معرفی گردیده است. سپس، در بخش دوم آن فصل، به چگونگی تشکیل فریزهای درهمروی در ریز کاواک اپتیکی

¹ Paraxial Model

²Comprehensive Model

سیستم های MF-S و PF-S، پرداخته شده است. در بخش سوم آن، ریز عدسی های نوک کاوشگر فیبرنوری، با استفاده از دو مدل پیرامحوری و مدل جامع ، تحلیل و بررسی شده اند.

در فصل سوم این پایان نامه، بررسی عملی سیستم های MF-S و PF-S، آورده شده است. برای بررسی عملی این سیستم ها، ابتدا، چیدمان سیستم ریزدرهمروی سنجی فیبرنوری، ساخته شده در آزمایشگاه میکرو و نانو اپتیک دانشگاه شهید باهنر کرمان، معرفی شده است. سپس با ایجاد ریز کاواک های اپتیکی MF-S و PF-S، نقش فریزهای درهمروی آنها بدست آورده شده است. در پایان این فصل، چگونگی ساخت کاوشگرهای فیبرنوری نوک ریز عدسی دار با استفاده از دو روش (الف) سیستم گرمائشی جرقه الکتریکی با کنترل کامپیوتری و (ب) روش اپوکسی آورده شده است.

در فصل چهارم، ابتدا، نتایج نظری و عملی فریزهای پدیدآمده ناشی از پدیده درهمروی با یکدیگر مقایسه شده اند. سپس ویژگیهای پرتوی خروجی از ریز عدسی نوک کاوشگر، با استفاده از مدل پیرامحوری و مدل جامع مورد تحلیل قرار گرفته اند.

برداشت کلی از موارد مورد اشاره در پایان نامه در فصل پنجم توضیح داده شده است.

فصل ۲

بررسی نظری ریزکاوای های
اپتیکی MF-S و PF-S

در این فصل، نخست، تابع موج مربوط به چشمۀ نور درون کاوشگر فیبرنوری تک حالت، معرفی شده است. سپس، بطور مختصر، تحلیل نظری مربوط به چگونگی تشکیل فریزهای درهمروی در ریزکاواک های اپتیکی MF-S و PF-S، که قبلاً توسط دکتر فاطمی و گروه به سرپرستی ایشان انجام شده [۲۷و۱۱و۱۲]، آورده شده است. پس از آن، ویژگیهای کاوشگر فیبرنوری نوک ریزعدسی دار، به صورت دقیقتر مورد تحلیل و بررسی قرار گرفته اند.

۱-۲- معادله موج در یک فیبر نوری تک حالت با نمار شکست

پله ای

معادله موج ۱۷ برای یک محیط غیرهمگن، در معادله زیر صدق می کند [۲۸]

$$\nabla^2 \vec{\psi} + \vec{\nabla} \left(\frac{\vec{\nabla} n^2}{n^2} \cdot \vec{\psi} \right) - \epsilon_0 \mu_0 n^2 \frac{\partial^2 \vec{\psi}}{\partial t^2} = 0 \quad (1-2)$$

که در آن، n نمار شکست محیط و ϵ_0 و μ_0 ضرایب گذردگی الکتریکی و مغناطیسی در خلاء و t زمان است.

چنانچه محیط همگن باشد آنگاه

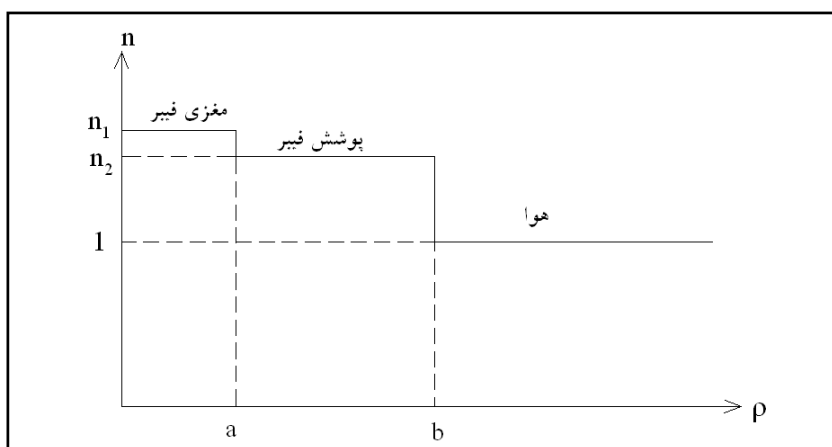
$$\vec{\nabla} \left(\frac{\vec{\nabla} n^2}{n^2} \cdot \vec{\psi} \right) = 0 \quad (2-2)$$

محیط های مغزی و پوشش فیبر، محیط هایی همگن، خطی و همسانگرد فرض می شوند [۲۹]. بنابراین رابطه (۱-۳) بصورت زیر خلاصه می شود

$$\nabla^2 \vec{\psi} - \epsilon_0 \mu_0 n^2 \frac{\partial^2 \vec{\psi}}{\partial t^2} = 0 \quad (3-2)$$

مطابق شکل ۳-۱، نمارشکست یک فیبر دارای نمارشکست پله ای^۱ با رابطه زیر بیان می شود [۳۰]

$$n(\rho, \varphi) = n(\rho) = \begin{cases} n_1 & 0 < \rho < a \\ n_2 & \rho > a \end{cases} \quad (4-2)$$



شکل(۱-۲) : نمودار تغییرات نمار شکست یک فیبر دارای نمار شکست پله ای. a شعاع مغزی فیبر، b شعاع پوشش فیبر، n_1 نمار شکست مغزی فیبر و n_2 نمار شکست پوشش فیبر است

که a شعاع سطح مقطع مغزی فیبر، b شعاع پوشش فیبر، n_1 ضریب شکست مغزی فیبر و n_2 ضریب شکست پوشش فیبر می باشد.

با تفکیک تابع ψ براساس متغیرهایش در دستگاه مختصات استوانه ای داریم

¹ step index fiber

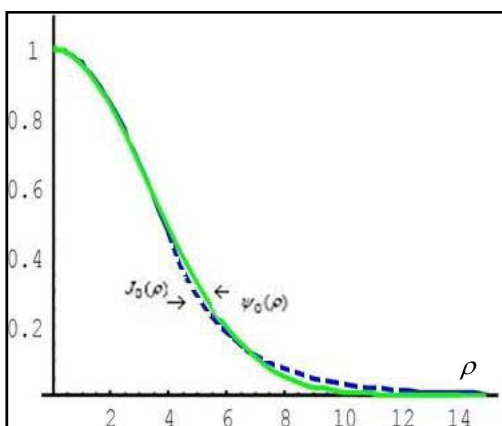
$$\psi(\rho, \varphi, z, t) = \psi(\rho, \varphi) e^{i(\omega t - kz)} \quad (5-2)$$

که k ثابت انتشار پرتو درون فیبر، در راستای محور آن، z ، است.

جوابهای حل این معادله در دستگاه مختصات استوانه ای، توابع بسل می باشند. بنابراین تابع موج پرتو نور، درون مغزی یک فیبر با نمار شکست پله ای، بصورت زیر است

$$\psi_{core}(\rho, \varphi, z, t) = \frac{A}{J_l(u)} J_l\left(\frac{u}{a}\rho\right) \begin{cases} \cos(l\varphi) \\ \sin(l\varphi) \end{cases} e^{i(\omega t - kz)} \quad (6-2)$$

این تابع، به ازای $l=0$ در ازای اندازه های بسیار کوچک مغزی فیبر، رفتاری شبیه تابع موج پرتو گاوسی دارد لذا با تقریب خوبی می توان نور منتشرشده درون مغزی فیبر را دارای گستره گاوسی درنظر گرفت. بنابراین بدلیل ساده تر بودن انجام محاسبات با پرتوی گاوسی نسبت به تابع بسل، از این پس، محاسبات خود را با تابع موج گاوسی $\psi_0(\rho, z)$ انجام خواهیم داد. در شکل زیر رفتار تقریباً یکسان این دو تابع نمایش داده شده است.



برای آشنایی بیشتر با تابع موج پرتوی گاوسی، (z, ρ, ψ_0) ، طریقه محاسبه آن با استفاده از معادله هلمهولتز در زیر آمده است.

شکل (2-۲): نمودار نشان دهنده رفتار مشابه تابع بسل $J_0(\rho)$ و تابع موج گاوسی $\psi_0(\rho)$. خط پرنگ مربوط به تابع موج گاوسی و نقطه چین مربوط به تابع بسل است.

معادله هلمهولتز برای انتشار یک پرتو با تابع موج ψ در یک محیط خطی همسانگرد یکنواخت بصورت زیر است [۳۱]

$$\nabla^2\psi(x, y, z) + k^2\psi(x, y, z) = 0 \quad (7-2)$$

که k ثابت انتشار پرتو در محیط است.

حل معادله بالا در حالت ساده به یک پرتو با پیشانی تخت می رسد ولی در حالت کلی، دامنه پرتو در نقاط مختلف، متفاوت است پس چنانچه جهت انتشار پرتو در راستای محور z باشد برای $\psi(x, y, z)$ ، یک تابع بصورت زیر پیشنهاد می شود که دامنه آن در نقاط مختلف، متفاوت باشد.

$$\psi(x, y, z) = U(x, y, z) e^{-ikz} \quad (8-2)$$

با نوشتن عملگر لاپلاسین، بصورت مجموع دو عملگر لاپلاسین مماسی و عمود بر پیشانی پرتو $\psi(x, y, z)$ و جایگذاری رابطه (۸-۲)، می توان معادله (۷-۲) را بصورت زیر نوشت

$$\nabla_t^2(U(x, y, z) e^{-ikz}) + \nabla_z^2(U(x, y, z) e^{-ikz}) + k^2(U(x, y, z) e^{-ikz}) = 0 \quad (9-2)$$

از طرفی

$$\nabla_t^2(U(x,y,z) e^{-ikz}) = (\nabla_t^2 U(x,y,z)) e^{-ikz} \quad (10-2)$$

$$\frac{\partial \psi}{\partial z} = \left(\frac{\partial U}{\partial z} - ikU \right) e^{-ikz} \quad (10-2)$$

$$\begin{aligned} \nabla_z^2(U(x,y,z) e^{-ikz}) &= \frac{\partial^2}{\partial z^2}(U(x,y,z) e^{-ikz}) \\ &= \left(\frac{\partial^2 U}{\partial z^2} - ik \frac{\partial U}{\partial z} \right) e^{-ikz} - ik \left(\frac{\partial U}{\partial z} - ikU \right) e^{-ikz} \\ &= \left(\frac{\partial^2 U}{\partial z^2} - 2ik \frac{\partial U}{\partial z} - k^2 U \right) e^{-ikz} \end{aligned} \quad (10-2)$$

بنابراین معادله (۹-۲) بصورت زیر درمی آید

$$\begin{aligned} \nabla_t^2 U + \left(\frac{\partial^2 U}{\partial z^2} - 2ik \frac{\partial U}{\partial z} - k^2 U \right) + k^2 U &= 0 \\ \Rightarrow \quad \nabla_t^2 U + \frac{\partial^2 U}{\partial z^2} - 2ik \frac{\partial U}{\partial z} &= 0 \end{aligned} \quad (11-2)$$

حالت خاصی از معادله بالا هنگامی است که تغییرات U نسبت به راستای عمود بر z بسیار آرام و یکنواخت است. بنابراین از مراتب اول و دوم مشتق U نسبت به z بسیار کوچک می باشد ولی بعلت اینکه در معادله (۱۱-۲)، $\frac{\partial U}{\partial z}$ در یک ضریب بزرگ (k) ضرب شده است پس این جمله را نگه می داریم. بنابراین، معادله (۱۱-۲) بصورت زیر خلاصه می شود

$$\frac{\partial^2 U}{\partial z^2} = 0 \quad \Rightarrow \quad \nabla_t^2 U - 2ik \frac{\partial U}{\partial z} = 0 \quad (12-2)$$

معادله بالا، معادله دیفرانسیل برای محاسبه تابع موج یک پرتو گاوسی (TEM_{00}) است. جواب این معادله تابع موج پرتوی با پیشانی گاوسی $(z, \rho)_0$ می باشد که در رابطه (۲-۱۳) آورده شده است.

$$\psi_0(\rho, z) = \left[1 + \left(\frac{z}{z_{01}} \right)^2 \right]^{-\frac{1}{2}} e^{-i[kz - \tan^{-1}(\frac{z}{z_{01}})]} e^{-\frac{\rho^2}{w_{01}^2 [1 + (\frac{z}{z_{01}})^2]}} e^{-\frac{i k}{2} \frac{\rho^2}{z + z_{01}^2}} \quad (13-2)$$

در رابطه (۱۳-۲)، z و ρ به ترتیب، همنه های طولی و عرضی انتشار و k ثابت انتشار پرتواست. پارامترهای z_{01} و w_{01} ، به ترتیب، بازه ریلی^۱ و شعاع کمر^۲ پرتو گاوسی هستند. شعاع کمر پرتوی گاوسی w_{01} ، در واقع شعاع آن در مبدأ انتشار پرتو است که شدت در آنجا بیشینه مقدار را دارد. هر چه که از کمر پرتو گاوسی، در راستای انتشار Z دور شویم، پرتو اندکی واگرا شده و شعاع پرتو $(z) w$ که طبق رابطه (۱۴-۲)

بدست می آید، افزایش پیدا می کند.

$$w(z) = w_{01} [1 + \left(\frac{\lambda z}{\pi w_{01}^2 n} \right)^2]^{1/2} \quad (14-2)$$

همچنین فاصله بین کمر پرتوی گاوسی تا مکانی که در آن شعاع پرتو برابر با $\sqrt{2} w_{01}$ است، بازه (یا گستره) ریلی، z_{01} ، نامیده می شود. در این بازه، پیشانی پرتوی گاوسی

¹ Rayleigh range

² Beam waist